

岐阜高専 正員 将 保 恒一
大阪大学工学部 正員 伊藤 富雄

1. 考え方 土のアーチ作用をうける土圧について、アーチ作用が鉛直に働く場合には、地下構造物上のボテンシャル鉛直せん断面における土の安定問題を解析する Terzaghi¹⁾ のせん断面法が基本となつて、平面ひずみの問題としての解析ができる。しかしアーチ作用が水平に働く場合には、土のせん断力が伝播が三次元的で、平面ひずみの問題の解析を困難ならしめる。近似的解法としてトレンケ壁面の土圧について Piaskowski²⁾ 等の研究²⁾、斜面のすべり防止板に作用するアーチ力については Wang³⁾ 等の研究がある。ハザードせん断すべり面を仮定している。このような問題解析には、三次元の有限要素法は有用である。本論ではアーチ力がすべり面に沿って働くかとて、擁壁の主働土圧について、仮定せん断面における抵抗せん断力が土体内に伝達されるという考え方を基本にして、Sokolouski⁴⁾ の塑性力学を用いて解析を行つ。

2. 基本仮定 (1) 図1のようす構造物が主働土圧をうける場合、二擁壁間のすべり土塊の機械的関係は、図1-(C) に示すとおりと考える。即ち二擁壁間のすべり土塊は Rankin の主働土圧の三輪鉛土塊の中、放物面の土塊(BDB'-AEA')が発生して落下し、残余の土塊は、土中原因作用による仮定せん断面上における抵抗せん断力と下底面の抵抗力によって支持される。(2) 土は剛塑性体であり、せん断強度は Mohr-Coulomb 式で表す。

3. 解析 (1) せん断面上におけるアーチ力 Rankin の主働すべり面で支持される土塊については、仮定せん断面上の抵抗せん断力を S_1 、せん断面 k 垂直に働く $\gamma H k$ よりせん断抵抗力を S_2 とする。(図1 参照)

$$2S_1 + W \cos\lambda \cdot \tan\phi + W \sin\lambda = 0 \quad S_1 = \frac{W}{2} (\sin\lambda - \cos\lambda \cdot \tan\phi) \quad (1)$$

$$S_2 = \int_A K_0 \sigma_z \tan\phi \, dS = \frac{1}{6} \pi \frac{H^3}{m} K_0 \tan\phi \quad (2)$$

$$= \pi, W: 支持工に対する土塊の重量 = \pi H^2 d \left(\frac{1}{m} - \frac{4}{3} \frac{d}{H} \cot\phi + \frac{8}{5} \frac{d^2}{H^2} \cot^2 \phi \cdot m \right) \quad (3)$$

$m = \tan\lambda - \tan i$, $\lambda = \pi/4 + \phi/2$, d : 土の単位体積重量, K_0 : 静止土圧係数 $= 1 - \sin\phi$. A はせん断面の領域, i : 土中原因作用角. 仮定せん断面上の全せん断力 S を全せん断面で割ると、岸面積分あたりのせん断力 s となり. 二擁壁間の空間距離で割ると、単位体積あたりの物体力 f となる. これは、擁壁間の距離、擁壁の高さおよび土中原因強度パラメータ d によりさまたげてアーチ力 F である. 整理すると次の方程式で表わされる.

$$S = (S / (\frac{1}{6} \frac{H^3}{m})) / d = T \left[(1 - \frac{3}{2} \frac{d}{H} m \cdot \cot\phi + \frac{4}{5} \frac{d^2}{H^2} m^2 \cdot \cot^2 \phi) \right] (\sin\lambda - \cos\lambda \cdot \tan\phi) + \frac{1}{3} \frac{H}{6} K_0 \tan\phi \quad (4)$$

これはせん断面から、図2のように減衰して伝播するとしてせん断面からの任意の点よりアーチ力は次式で示される.

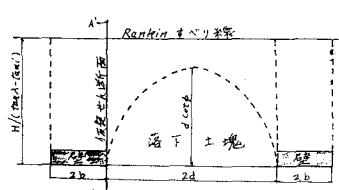
$$f = f_1 - 2f_1 \xi + f_1 \xi^2 + f_2 \xi^2 \quad f_{mean} = \frac{1}{3} (f_1 + f_2) \quad (5)$$

擁壁側面の土体内には、アーチ力

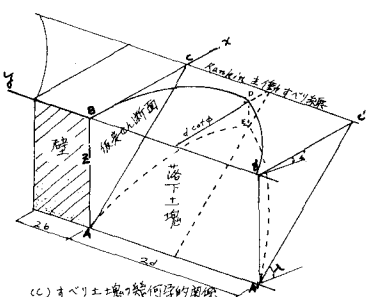
f が作用するといふよつて、図3-(A) に示すような物体力 f が生ずる。

$$\gamma = \sqrt{f^2 + f^2 + 2ff \sin\theta} \quad (6)$$

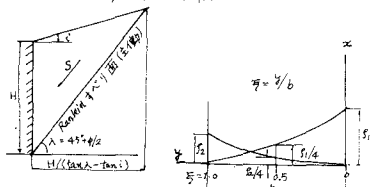
$$f \text{ が直角方向に作用するとき } \gamma = f \text{ とすると } \\ \tan\alpha = fs \sin\theta / (f + fs \cos\theta) \quad (7)$$



(a) 平面図



(c) すべり土塊の機械的関係



(b) AA' 断面

図1 拥壁間の落土図

物体力 σ はまきつ力 τ と並んで、一般にすべり線に沿って働くことの常識的参考をうながす。θは図3-(b)を参照して、 $\theta = \pi/2 - \phi - \mu$
 $= \pi/2 - \mu$ 。すなはち最大主応力の作用軸と直角となす角、及時計方向を表す。
 $\mu = 45^\circ - \phi/2$ である。

(2). 常時および地震時における擁壁土圧の計算

土の塑性場における応力のつり合式と、破壊条件式は、土のダイレクトシート法を基準として、μ, H座標で表わすと、図4を参照して

$$\frac{\partial \sigma_u}{\partial u} + \frac{\partial \tau_{uv}}{\partial v} = \tau_0^* \cos \alpha_E \\ \frac{\partial \sigma_u}{\partial u} + \frac{\partial \tau_{vu}}{\partial v} = -\tau_0^* \sin \alpha_E \quad (9)$$

$$\sigma_{u,v} = \sigma (1 \pm \sin \phi \cos 2\phi) \\ \tau_{uv} = \sigma \sin \phi \sin 2\phi \quad (10)$$

$\approx \pi/2$ 。 $\sigma = (\sigma_1 + \sigma_3)/2$, σ_1, σ_3 は最大、および最小主応力

$\tau_0^* = \tau_0^*/\cos \theta_0$, $\theta_0 = \tan^{-1}(a/\gamma)$, a : 地震時の水平加速度(gal),

γ : 重力加速度(gal),

(9), (10)式を無次元化すれば式(11), $\bar{u} = u/H$, $\bar{v} = v/H$,

$$\bar{\sigma} = \sigma/H, \quad \bar{\tau}^* = \tau^*/\gamma, \quad \bar{p} = p/\gamma \quad \text{となる}.$$

$$\bar{\tau}^* = \sqrt{1 + \bar{p}^2 + 2\bar{p}\sin\theta}, \quad \tan\alpha_E = \bar{p}\sin\theta/(1 + \bar{p}\sin\theta)$$

となる無次元化式(11)。以降は無次元化した状態で示す。 (\wedge, P)

を取り去った記号で表わす。(9), (10)式を無次元化した接合方程式 \wedge を基

とする式(12)を Sokolovski⁵⁾は示した。

$$du = du \tan(\phi + \mu) \quad (11)$$

$$d\sigma + 2\sigma \tan\phi d\psi = \tau_0^* [\cos(\phi + \mu)] du - \sin(\phi + \mu) du / \cos\phi \quad (12)$$

(11)式の解は Graham⁶⁾, Bransby⁷⁾, 市原^{8), 9)} 等によった。

物体力 τ はθの関数であり、θはまた4の関数である $\pi/2 - \phi - \mu$ 。式(12)を差

分法で解く場合、はじめにθを仮定して計算をし、ある收束値を設けて、より近い計算を行ふ必要がある。解析例を図5, 図6に示す。

図6Kは、計算例と同じ条件で算出された実験結果も示した。実験結果と解析結果とは非常に近い値である。計算は阪大大型計算機を利用した。

すべり線網の作用は日本橋梁KK, 山田野君の助助を受けて、感謝の意

を表す。

参考文献 1) Terzaghi, K.: Theoretical Soil Mechanics, John Wiley

Sons, 1943, 2) Piastowski, A. and Kowalewski, Z., Proc. 6th ICMFE, Vol. 2, 1965.

3) Wang, W. L. and Yen, B. C., J. of Geotech. Eng. D., ASCE, Vol. 100, NO. GT-1,

1974. 4) 伊藤豊雄, 狩野恒一: 55年土木学会開西支部年次学術講演会

概要集. 5) Sokolovski, V. V., Statics of Soil Media, Butterworth

Scientific Pub. 1960. 6) Graham, J. B., Geotech. Vol. 18, NO. 3, 1968.

7) Bransby, P. L. and Smith, I. A. A., J. of Geotech. Eng. D., ASCE, Vol. 101,

NO. GT-7, 1975. 8) 市原松平, 中根進, 工芸学会論文報告集, 25, 3,

1976. 9) 市原松平, 山田公美, 宇都留洋一, 34回土木学会年次学術

講演会概要集, 3部, 昭. 54年.

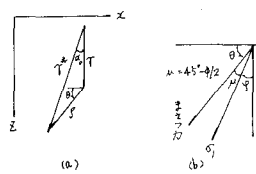


図3 まきつ力 τ と物体力 σ の関係

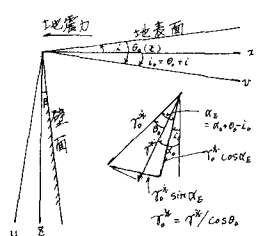
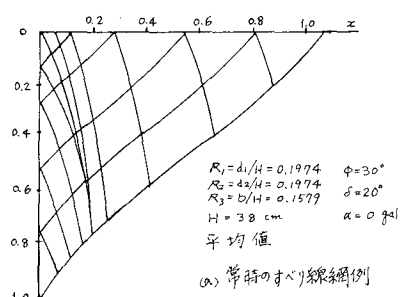
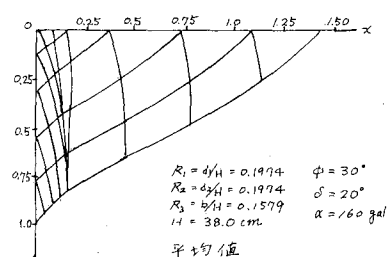


図4 地震時の物体力の座標



(a) 常時のすべり線網例



(b) 地震時のすべり線網例

図5 ワーク用土のすべり線網

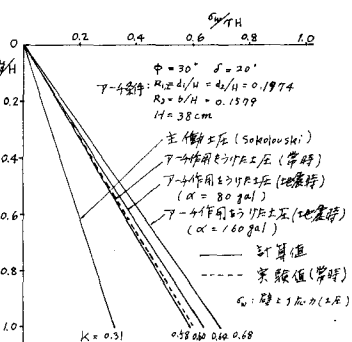


図6 ワーク用土の土圧係数